



كلية العلوم

القسم : المفهوم

السنة : الرابعة

1

المادة : فيزياء اشعاعية

المحاضرة : الخامسة/نظري/

A to Z مكتبة

Facebook Group : A to Z مكتبة



كلية العلوم ، كلية الصيدلة ، الهندسة التقنية



يمكنكم طلب المحاضرات برسالة نصية (SMS) أو عبر (What's app-Telegram) على الرقم 0931497960

الفيزياء الشعاعية



المحاضرة-5

تفاعل الجسيمات المشحونة مع الوسط

تفاعل الجسيمات المشحونة مع الوسط

- يُحاط الجسم المشحون بمجال القوة الكولونية الكهربائية الخاصة به التي تتفاعل مع الإلكترونات المدارية (خسارة تصاميمية) والنواة (خسارة إشعاعية) لكل الذرات التي يصادفها أثناء اخترافه للمادة.
- نقل الطاقة من الجسم المشحون إلى المادة في كل تفاعل ذري فردي يكون بشكل عام صغيراً، بحيث يخضع الجسم لعدد كبير من التفاعلات قبل أن تستهلك طاقته الحركية.

تفاعل الجسيمات المشحونة مع الوسط

- قدرة التوقف (Stoppin power) هي المعيار المستخدم لوصف فقد التدريجي للطاقة للجسيم المشحون أثناء اخترافه لوسط ماص.
- تُعرف فئتان من قوى التوقف:
 - قدرة التوقف التصادمية (التأين) الناتجة عن تفاعل الجسيم المشحون مع الإلكترونات المدارية للمادة الماصة
 - وقدرة التوقف الإشعاعية الناتجة عن تفاعل الجسيم المشحون مع نوى المادة الماصة.

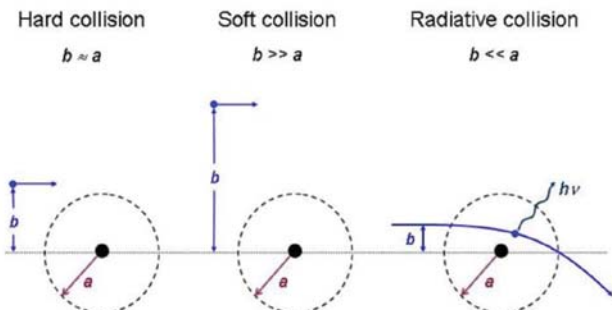
3

تفاعل الجسيمات المشحونة مع الوسط

- قدرة التوقف (Stoppin power) هي المعيار المستخدم لوصف فقد التدريجي للطاقة للجسيم المشحون أثناء اخترافه لوسط ماص.
- تُعرف فئتان من قوى التوقف:
 - قدرة التوقف التصادمية (التأين) الناتجة عن تفاعل الجسيم المشحون مع الإلكترونات المدارية للمادة الماصة
 - وقدرة التوقف الإشعاعية الناتجة عن تفاعل الجسيم المشحون مع نوى المادة الماصة.
- تلعب قدرة التوقف دوراً مهماً في قياس الجرعات الإشعاعية. تعتمد هذه القدرة على خصائص الجسيم المشحون مثل كتلته وشحنته وسرعته وطاقته وكذلك على خصائص الوسط الماص مثل كثافته والعدد الذري له.

4

قدرة التوقف :Stopping power



الشكل 1 ثلاثة أنواع من التصادمات موجودة بين الجسيم المشحون والذرّة وفقاً لقيمة معامل الصدم b ونصف قطر الذرة a .

- أثناء عبور جسيم مشحون عبر مادة ماصة، يخضع لتفاعلات كولونية مع النوى وإلإلكترونات المدارية لذرات المادة الماصة.

- يمكن تقسيم هذه التفاعلات إلى ثلاثة فئات بناءً على أبعاد ثابت الصدم الكلاسيكي b مقارنةً بنصف قطر الذري الكلاسيكي a :

- تفاعل قوة كولون للجسيم المشحون مع الحقل النووي الخارجي (إنتاج أشعة الكبح) عندما يكون $b \ll a$.
- تفاعل قوة كولون للجسيم المشحون مع الإلكترون المداري عندما يكون $b \approx a$ (تصادم صلب).
- تفاعل قوة كولون للجسيم المشحون مع الإلكترون المداري عندما يكون $b \gg a$ (تصادم ناعم).

5

قدرة التوقف :Stopping power

- نُعرف بـ نوعين من قدرة التوقف:

- قدرة التوقف الإشعاعية التي تنتج من التفاعل الكولوني للجسيم المشحون مع نوى المادة الماصة. فقط الجسيمات المشحونة الخفيفة (الإلكترونات والبوزيترونات) تعاني من خسائر كبيرة في الطاقة من خلال هذه التفاعلات التي يُشار إليها عادةً بتفاعلات أشعة الكبح.

- قدرة التوقف التصادمية (التأين) التي تنتج من التفاعلات الكولونية للجسيم المشحون مع إلإلكترونات المدارية للمادة الماصة. كل الجسيمات المشحونة الثقيلة والخفيفة تعاني من هذه التفاعلات التي تؤدي إلى نقل الطاقة من الجسيم المشحون إلى إلإلكترونات المدارية، أي، إثارة وتأين ذرات المادة الماصة.

6

قدرة التوقف :Stopping power

- قدرة التوقف الكلية S_{tot} لجسيم مشحون بطاقة E_K ينتقل عبر مادة ماصة ذات عدد ذري Z هي مجموع قدرة التوقف الإشعاعية والتصادمية، أي:

$$S_{\text{tot}} = S_{\text{rad}} + S_{\text{col}}$$

7

قدرة التوقف الإشعاعية :

- معدل إنتاج أشعة الكبح بواسطة الجسيمات المشحونة الخفيفة (الإلكترونات والبوزيترونات) أثناء مرورها عبر مادة ماصة يُعبر عنه بقدرة التوقف الإشعاعية الكلية (وحدة $\text{MeV} \cdot \text{cm}^2/\text{g}$) S_{rad} والتي تعطى كما يلي:

$$S_{\text{rad}} = N_a \sigma_{\text{rad}} E_i$$

- حيث N_a : عدد الذرات في واحدة الكتل $N_a = N/m = \frac{N_A}{m}$ ، σ_{rad} : المقطع العرضي لانتاج أشعة الكبح ، E_i : الطاقة الكلية البدئية للجسيم المشحون الخفيف.
- $E_{ki} = E_i + m_e c^2$: الطاقة الحركية البدئية للجسيم المشحون الخفيف.
- بالتعويض عن قيمة σ_{rad} من أجل الجسيمات غير النسبية $\frac{16}{3} \alpha r_e^2 Z^2$ نجد أن قوة التوقف S_{rad}

8

قدرة التوقف الإشعاعية :

- معدل إنتاج أشعة الكبح بواسطة الجسيمات المشحونة الخففة (الإلكترونات والبوزيترونات) أثناء مرورها عبر مادة ماصة يُعبر عنه بقدرة التوقف الإشعاعية الكتليلية S_{rad} (وحدة $\text{MeV} \cdot \text{cm}^2/\text{g}$) والتي تُعطى كما يلى:

$$S_{\text{rad}} = N_a \sigma_{\text{rad}} E_i$$

- حيث $N_a = N/m = \frac{N_A}{A}$: عدد الذرات في واحدة الكتل
- σ_{rad} : المقطع العرضي لانتاج أشعة الكبح ،
- E_i : الطاقة الكلية البدئية للجسيم المشحون الخفيف
- $E_{ki} = E_i + m_e c^2$: الطاقة الحركية البدئية للجسيم المشحون الخفيف.
- بالتعويض عن قيمة σ_{rad} من أجل الجسيمات غير النسبية $\frac{16}{3} \alpha r_e^2 Z^2$ نجد أن قوة التوقف S_{rad} :

$$S_{\text{rad}} = \alpha r_e^2 Z^2 \frac{N_A}{A} B_{\text{rad}} E_i$$

9

قدرة التوقف الإشعاعية :

جدول 1- المقطع العرضي الكلي لإنتاج أشعة الكبح و B_{rad} من أجل مجالات مختلفة لقيم الطاقة الحركية للإلكترون.

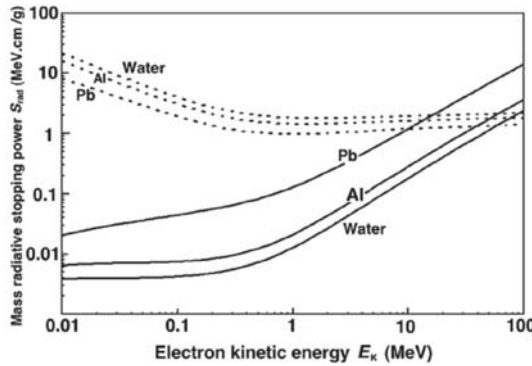
Energy range	σ_{rad} ($\text{cm}^2/\text{nucleon}$)	$B_{\text{rad}} = \sigma_{\text{rad}} / (\alpha r_e^2 Z^2)$
Non-relativistic $E_{K_i} \ll m_e c^2$	$\frac{16}{3} \alpha r_e^2 Z^2$	$\frac{16}{3}$
Relativistic $E_{K_i} \approx m_e c^2$	complicated power series	—
High-relativistic $m_e c^2 \ll E_{K_i} \ll \frac{m_e c^2}{\alpha Z^{1/3}}$	$8\alpha r_e^2 Z^2 \left[\ln \left(\frac{E_i}{m_e c^2} \right) - \frac{1}{6} \right]$	$8 \left[\ln \left(\frac{E_i}{m_e c^2} \right) - \frac{1}{6} \right]$
Extreme relativistic $E_{K_i} \gg \frac{m_e c^2}{\alpha Z^{1/3}}$	$4\alpha r_e^2 Z^2 \left[\ln \frac{183}{Z^{1/3}} + \frac{1}{18} \right]$	$4 \left[\ln \frac{183}{Z^{1/3}} + \frac{1}{18} \right]$

$$S_{\text{rad}} = N_a \sigma_{\text{rad}} E_i$$

$$S_{\text{rad}} = \alpha r_e^2 Z^2 \frac{N_A}{A} B_{\text{rad}} E_i$$

حيث B_{rad} يتغير ببطءٍ بتتابعية Z و E_i وهو معطى في الجدول 1، حيث يأخذ قيمة $\frac{16}{3}$ من أجل الجسيمات المشحونة الخفيفة غير النسبية والتي تقع ضمن مجال طيفي $E_K = 1 \text{ MeV}$ ؛ و قيمة 6 عندما $E_K = 10 \text{ MeV}$ و قيمة 12 عندما $E_K = 100 \text{ MeV}$ و 15 عندما $E_K = 1 \text{ MeV}$.

قدرة التوقف الإشعاعية :



الشكل 2 قدرة التوقف الإشعاعية S_{rad} للإلكترونات في أوساط الماء والألمنيوم والرصاص بتناسبية الطاقة الحرارية للإلكترون وهي مماثلة بخطوط مستمرة. تم رسم قوة التوقف التصادمية في نفس الأوساط للمقارنة وهي المنحنيات المرسومة بشكل نقطي.

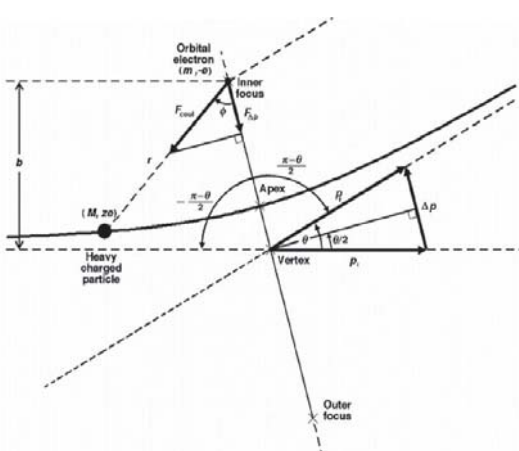
$$S_{rad} = N_a \sigma_{rad} E_i$$

$$S_{rad} = \alpha r_e^2 Z^2 \frac{N_A}{A} B_{rad} E_i$$

الشكل 2 يُظهر تغير قدرة التوقف الإشعاعية S_{rad} للإلكترونات في أوساط الماء والألمنيوم والرصاص بتناسبية الطاقة الحرارية للإلكtron و هي مماثلة بخطوط مستمرة و نلاحظ تابعية S_{rad} للعدد الذري Z و الطاقة الحرارية للجسيمات المشحونة الخفيفة بطاقة أكبر من 2 MeV.

11

انتقال كمية الحركة من الجسيم المشحون الثقيل إلى الكترون المداري:



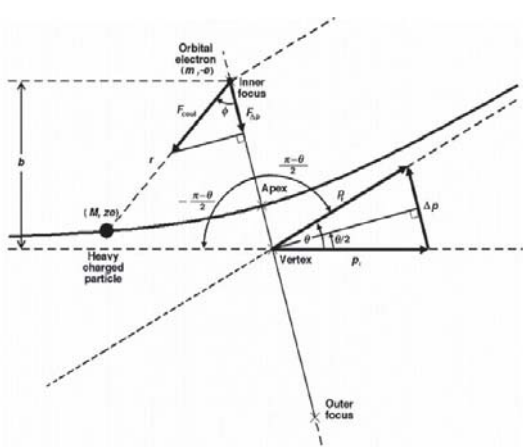
الشكل 3 مخطط يوضح التأثير الكولوني بين جسيم ثقيل M و الكترون مداري m_e

- الحساب الكلاسيكي لقدرة التوقف التصادمية S_{col} لجسيم مشحون ثقيل مثل البروتون يرتكز على:
 - حساب تغير كمية الحركة لجسيم ثقيل يصطدم مع الكترون مداري.
 - حيث أن التأثير الكولوني بين الجسيم المشحون الثقيل (بكتلة M وشحنة Ze) و الإلكترون المداري (بكتلة m_e وشحنة e) تم توضيحه في الشكل التالي:
 - كمية الحركة المنقولة ΔP من الجسيم الثقيل المشحون تكون على طول خط يتقاطع مع الزاوية $\theta - \pi$ ، ويتم حساب السعة ΔP كمالي:

$$\Delta p = \int F_{\Delta p} dt = \int_{-\infty}^{\infty} F_{coul} \cos \phi dt .$$

12

انتقال كمية الحركة من الجسيم المشحون الثقيل إلى الالكترون المداري:



الشكل 3 مخطط يوضح التأثير الكولوني بين جسيم ثقيل M و الالكترون المداري

- كمية الحركة المنقولة ΔP من الجسيم الثقيل المشحون تكون على طول خط يتقاطع مع الزاوية $\theta - \pi$ ، ويتم حساب السعة ΔP كمايلي:

$$\Delta p = \int F_{\Delta p} dt = \int_{-\infty}^{\infty} F_{\text{coul}} \cos \phi dt.$$

- حيث F_{coul} هي القوة الكولونية بين الجسيم الثقيل المشحون والالكترون المداري:

$$F_{\text{coul}} = \frac{ze^2}{4\pi\epsilon_0} \frac{1}{r^2}$$

- و r هي المسافة بين الجسيمين.

13

انتقال كمية الحركة من الجسيم المشحون الثقيل إلى الالكترون المداري:

- وبتعويض القوة الكولونية في كمية الحركة المنقولة نجد:

$$\Delta p = \frac{ze^2}{4\pi\epsilon_0} \int_{-\frac{\pi-\theta}{2}}^{\frac{\pi-\theta}{2}} \frac{\cos \phi}{r^2} \frac{dt}{d\phi} d\phi$$

- حيث ϕ هي الزاوية بين المتجه r حامل القوة الكولونية $F_{\Delta p}$ و مركبتها F_{coul} على الخط المتوسط الذي يقسم المستوى الذي يمر فيه الجسيم المشحون الثقيل إلى قسمين محصورين بين زاويتين: $\frac{\pi-\theta}{2}$ و $\frac{\pi-\theta}{2}$

- يُحدد العزم الزاوي لعملية التصادم كمايلي:

$$L = Mv_\infty b = M\omega r^2$$

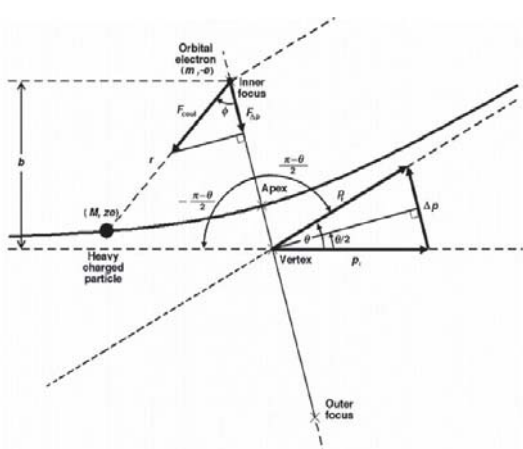
- حيث M هي كتلة الجسيم الثقيل، b السرعة البدئية للجسيم الثقيل (قبل التصادم)، و ω التردد الزاوي وهو يساوي $\frac{d\phi}{dt}$.

الشكل 3 مخطط يوضح التأثير الكولوني بين جسيم ثقيل M و الالكترون المداري

14

انتقال كمية الحركة من الجسيم المشحون الثقيل إلى الالكترون المداري:

- وباستخدام انحفاظ العزم الزاوي:



الشكل 3 مخطط يوضح التأثير الكولوني بين جسيم ثقيل M و الکترون مداري m_e

$$\Delta p = \frac{ze^2}{4\pi\epsilon_0 v_\infty b} \int_{-\frac{\pi-\theta}{2}}^{\frac{\pi-\theta}{2}} \cos \phi d\phi = \frac{ze^2}{4\pi\epsilon_0 v_\infty b} \{ \sin \phi \}_{-\frac{\pi-\theta}{2}}^{\frac{\pi-\theta}{2}}$$

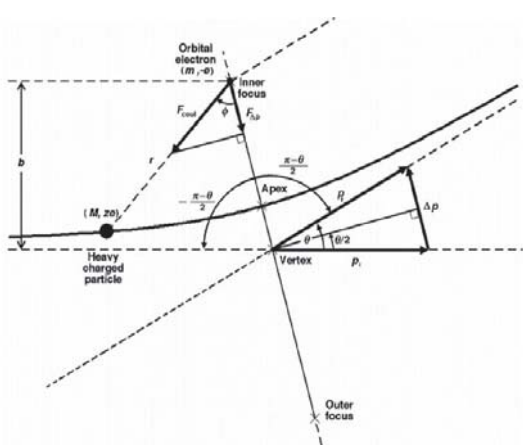
$$= 2 \frac{ze^2}{4\pi\epsilon_0 v_\infty b} \cos \frac{\theta}{2}$$

- بما أن $M \gg m_e$ فإن زاوية التشتت θ تساوي تقريباً الصفر:

$$\Delta p = 2 \frac{ze^2}{4\pi\epsilon_0 v_\infty b}$$

15

انتقال كمية الحركة من الجسيم المشحون الثقيل إلى الالكترون المداري:



الشكل 3 مخطط يوضح التأثير الكولوني بين جسيم ثقيل M و الکترون مداري m_e

- بما أن $M \gg m_e$ فإن زاوية التشتت θ تساوي تقريباً الصفر:

$$\Delta p = 2 \frac{ze^2}{4\pi\epsilon_0 v_\infty b}$$

- تكون الطاقة المنقولة من الجسيم الثقيل المشحون إلى الالكترون المداري في التصادم الواحد ومن أجل ثابت صدم b:

$$\Delta E(b) = \frac{(\Delta p)^2}{2m_e} = 2 \left(\frac{e^2}{4\pi\epsilon_0} \right)^2 \frac{z^2}{m_e v_\infty^2 b^2}$$

- حيث m_e هي كتلة الالكترون المداري الذي يمثل الهدف و v_∞ سرعة الجسيم المشحون الذي يمثل القذيفة.

16

قدرة التوقيف التصادمية الخطية:

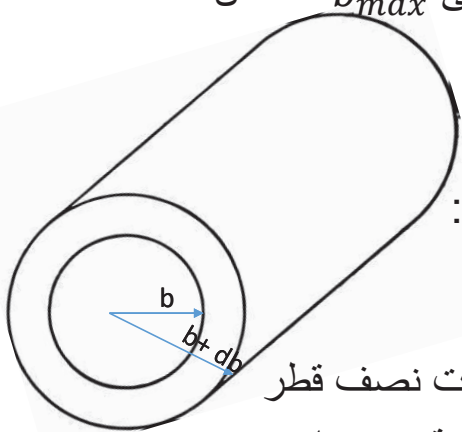
- الطاقة الكلية الضائعة من الجسيم المشحون في المادة الماصة خلال واحدة الطول $\frac{dE}{dx}$ تُعرف باسم قدرة التوقيف التصادمية الخطية. وهي تُحسب بإجراء التكامل لعلاقة الطاقة المنقولة ($\Delta E(b)$) على جميع مجالات قيم ثابت الصدم b من b_{min} إلى b_{max} لنجعل على:

$$-\frac{dE}{dx} = \int_{b_{min}}^{b_{max}} \Delta E(b) \frac{\Delta n}{\Delta x}$$

- حيث يتم حساب قدرة التوقيف التصادمية الكتالية من العلاقة التالية:

$$S_{col} = -\frac{1}{\rho} \frac{dE}{dx}$$

- $\frac{\Delta n}{\Delta x}$ هو عدد الإلكترونات في كل وحدة طول في أسطوانة رقيقة ذات نصف قطر داخلي b ونصف قطر خارجي $b + db$. يتماشى محور الأسطوانة مع مسار الجسيم المشحون الثقيل.



17

قدرة التوقيف التصادمية الخطية:

- بشكل بديهي، يمكننا اعتبار التكامل على جميع قيم ثابت الصدم الممكنة من 0 إلى ∞ ; ومع ذلك،

$$-\frac{dE}{dx} = \int_{b_{min}}^{b_{max}} \Delta E(b) \frac{\Delta n}{\Delta x}$$

- يجب أن نأخذ في الاعتبار قيدين فيزيائيين يؤثران على نقل الطاقة من الجسيم المشحون الثقيل إلى الإلكترونات المدارية:
 - أقل نقل للطاقة يتمثل بالتأين والإثارة للإلكترونات المدارية مما ينتج عنه ثابت صدم كبير b_{max} وبعد ذلك يصبح نقل الطاقة مستحيلاً.
 - أعلى نقل ممكن للطاقة في التصادم الرأسى بين الجسيم المشحون الثقيل والإلكtron المداري ينتج عنه معامل ثابت صدم صغير b_{min} .

18

قدرة التوقيف التصادمية الخطية:

- يكون عدد الالكترونات الموجودة Δn في شريحة اسطوانية بأنصاف أقطار b و $b+db$:

$$\Delta n = N_e dm = (Z N_A / A) dm$$

- حيث N_e هو عدد الالكترونات في واحدة الكتل $Z N_A / A$ للمادة الماصلة، و dm هي كتلة الشريحة الاسطوانية الموجودة بين b و $b+db$ وتساوي:

$$\begin{aligned} dm &= \rho dV = \rho \pi (b + db)^2 \Delta x - \rho \pi b^2 \Delta x \\ &= \rho \pi \Delta x [b^2 + 2b(db) + (db)^2 - b^2] \approx 2\pi \rho b db \Delta x \end{aligned}$$

- وبالمهمال قيمة $(db)^2$ لصغرها نجد أن قيمة $\frac{\Delta n}{\Delta x}$ تساوي:

$$\Delta n / \Delta x = 2\pi \rho (Z N_A / A) b db$$

19

قدرة التوقيف التصادمية الخطية:

- وتصبح قدرة التوقيف التصادمية:

$$-\frac{dE}{dx} = \int_{b_{\min}}^{b_{\max}} \Delta E(b) \frac{\Delta n}{\Delta x}$$

$$S_{\text{col}} = -\frac{1}{\rho} \frac{dE}{dx}$$

$$\Delta n / \Delta x = 2\pi \rho (Z N_A / A) b db$$

$$\begin{aligned} S_{\text{col}} &= -\frac{1}{\rho} \frac{dE}{dx} = 4\pi N_e \left(\frac{e^2}{4\pi\epsilon_0} \right)^2 \frac{z^2}{m_e v_\infty^2} \int_{b_{\min}}^{b_{\max}} \frac{db}{b} \\ &= 4\pi N_e \left(\frac{e^2}{4\pi\epsilon_0} \right)^2 \frac{z^2}{m_e v_\infty^2} \ln \frac{b_{\max}}{b_{\min}}. \end{aligned}$$

$$= 4\pi \frac{Z}{A} N_A \left(\frac{e^2}{4\pi\epsilon_0} \right)^2 \frac{z^2}{m_e v_\infty^2} \ln \frac{b_{\max}}{b_{\min}}$$

قدرة التوقيف التصادمية تتتناسب طرداً مع مربع شحنة الفزينة وعكساً مع مربع سرعة الفزينة. تغير $\frac{Z}{A}$ هو صغير من مادة إلى مادة أخرى (فهو ينقص من 0.5 في المواد ذات العدد الذري المنخفض إلى 0.4 في المواد ذات العدد الذري المرتفع)، أي تغير قدرة التوقيف التصادمية يكون خفيفاً من مادة إلى أخرى. وهذا يعني أن ضياع الطاقة من جسم مشحون خلال طبقات متساوية السماكة هو نفسه في جميع المواد.

20

نقل الطاقة الأصغرى وكمون التأين والتأثير الوسطى:

- من أجل ثابت صدم كبير b فإن الطاقة المنقولة يمكن أن تكون أصغر من طاقة ارتباط الإلكترون المداري أو أصغر من الحد الأدنى لكمون الإثارة الوسطى للإلكترون المداري المحدد.
- وهكذا لا يوجد نقل للطاقة ممكن من أجل $b > b_{max}$ حيث b_{max} تُناسب أصغر نقل للطاقة ΔE_{min} وهو يُعرف باسم كمون الإثارة أو التأين الوسطى لذرات الوسط الماصل.
- يعتمد هذا الجهد فقط على وسط الإيقاف ولكن ليس على نوع الجسيم المشحون. وهو دائمًا أكبر من جهد التأين للذرة لأنه يأخذ في الاعتبار جميع حالات التأين الذري الممكنة وكذلك الإثارة الذرية.

21

نقل الطاقة الأصغرى وكمون التأين والتأثير الوسطى:

- يتوافق متوسط جهد التأين-التأثير مع أقل مقدار من الطاقة ΔE_{min} التي يمكن نقلها في المتوسط إلى ذرة ماصة في تفاعل كولوم بين الجسيم المشحون والإلكترون مداري.

$$\Delta E(b) = \frac{(\Delta p)^2}{2m_e} = 2 \left(\frac{e^2}{4\pi\epsilon_0} \right)^2 \frac{z^2}{m_e v_\infty^2 b^2}$$

$$\Delta E_{min} = 2 \left(\frac{e^2}{4\pi\epsilon_0} \right)^2 \frac{z^2}{m_e v_\infty^2 b_{max}^2} = I$$

$$b_{max} \propto \frac{1}{\sqrt{I}}$$

- بشكل عام، لا يمكن حساب متوسط جهد التأين-التأثير من النظرية الذرية؛ ومع ذلك، يمكن تقديره من العلاقات التجريبية التالية:

$$I(\text{in eV}) \approx 11.5 Z$$

$$I(\text{in eV}) = 9.1Z (1 + 1.9 Z^{-2/3})$$

و بتقرير أفضل:

22

النقل الأعظمي للطاقة:

- بالنسبة لثوابت الصدم الصغيرة b يتم التحكم في نقل الطاقة الأعظمي ΔE_{max} التي يمكن نقلها في تصادم مباشر واحد.
 - بشكل كلاسيكي ΔE_{max} لتصادم مباشر بين جسيم مشحون ثقيل بكتلة M وبطاقة حركية E_K والكترون بكتلة m_e تُعطى بالعلاقة التالية:

$$\Delta E_{\max} = \frac{4m_e M}{(m_e + M)^2} E_K \approx 4 \frac{m_e}{M} E_K = 4 \frac{m_e}{M} \frac{M v_\infty^2}{2} = 2 m_e v_\infty^2$$

و هذه العلاقة توضح أن جزء صغير من الطاقة الحركية $(\frac{m_e}{M})$ للجسيم المشحون سيتمنى نقله إلى الألكترون المداري في التصادم الواحد $(M \gg m_e)$.

النقل الأعظمي للطاقة:

- العلاقة الكلاسيكية بين ΔE_{\max} و ثابت الصدم الأصغر b_{\min} التي تسمح بأقصى نقل للطاقة من جسيم مشحون ثقيل إلى إلكترون مداري هي:

$$\Delta E(b) = \frac{(\Delta p)^2}{2m_e} = 2 \left(\frac{e^2}{4\pi\varepsilon_0} \right)^2 \frac{z^2}{m_e v_\infty^2 b^2}$$

ومنه ينتج أن: $b_{min} \propto 1/\sqrt{\Delta E_{max}}$ أو $\Delta E_{max} \propto \frac{1}{b_{min}^2}$

قدرة التوقيف التصادمية الكتالية:

- نقل الطاقة ($\Delta E(b)$) من جسيم مشحون ثقيل الى الكترون مداري يقع ضمن مجال يمتد من:

$$\Delta E_{min}(b_{max}) = I \text{ to } \Delta E_{max}(b_{min}) = 2m_e v_\infty^2$$

$$I \leq \Delta E(b) \leq 2m_e v_\infty^2$$

والنسبة بين b_{max}/b_{min} تُعطى بالعلاقة:

$$\frac{b_{max}}{b_{min}} = \sqrt{\frac{\Delta E_{max}}{\Delta E_{min}}} = \sqrt{\frac{2m_e v_\infty^2}{I}}$$

- اذن قدرة التوقيف التصادمية الكتالية الكلاسيكية بين جسيم مشحون ثقيل والكترون مداري تُعطى بالعلاقة التالية:

$$S_{col} = 4\pi \frac{Z}{A} N_A \left(\frac{e^2}{4\pi\epsilon_0} \right)^2 \frac{z^2}{m_e v_\infty^2} \ln \sqrt{\frac{2m_e v_\infty^2}{I}}$$

25

قدرة التوقيف التصادمية الكتالية:

- اذن قدرة التوقيف التصادمية الكتالية الكلاسيكية بين جسيم مشحون ثقيل والكترون مداري تُعطى بالعلاقة التالية:

$$S_{col} = 4\pi \frac{Z}{A} N_A \left(\frac{e^2}{4\pi\epsilon_0} \right)^2 \frac{z^2}{m_e v_\infty^2} \ln \sqrt{\frac{2m_e v_\infty^2}{I}}$$

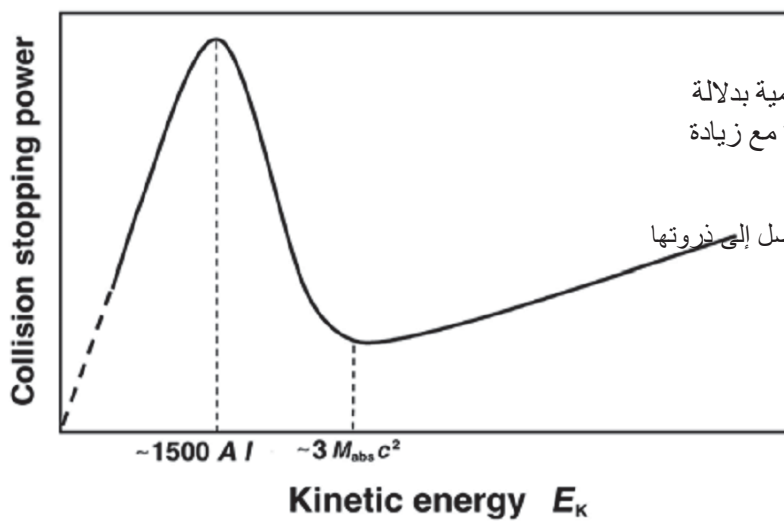
وهي علاقة كلاسيكية لقدرة التوقيف التصادمية الكتالية للعالم Niels Bohr (1913). وفي ميكانيك الكم غير النسبي تم وضع علاقة تُعرف باسم Beth-Bloch لحساب قدرة التوقيف التصادمية الكتالية.

$$S_{col} = 4\pi \frac{Z}{A} N_A \left(\frac{e^2}{4\pi\epsilon_0} \right)^2 \frac{z^2}{m_e v_\infty^2} \ln \frac{2m_e v_\infty^2}{I}$$

وهي تختلف عن علاقة Bohr بظهور القوة $\frac{1}{2}$ في المصطلح اللوغاريتمي لبور.

26

قدرة التوقيف التصادمية الكتالية:



- كما هو موضح في الشكل التالي تمر قدرة التوقف التصادمية بدلالة الطاقة الحركية للجسيم المشحون عبر ثلات مناطق مميزة مع زيادة الطاقة الحركية :

1- عند الطاقات الحركية المنخفضة، ترتفع S_{col} مع الطاقة وتصل إلى ذروتها عند $1500 A I$:

$$(E_K)_{\max} = \left(\frac{4 m_e}{I M} \right)^{-1} e \approx 1500 A I$$

2- بعد الذروة، ينخفض S_{col} بمقدار $\frac{1}{\theta^2}$

3- بعد الانخفاض الأعظمي، يزداد S_{col} بشكل خفيف بازدياد الطاقة الحركية للجسيم المشحون.

شكل منحنى قدرة التوقف التصادمية كدالة للطاقة الحركية للجسيم المشحون.



A to Z مكتبة